

4. Übung zur Nichtlinearen Dynamik & Streckenbildung

I

Inhalt: 1. Besprechung des 3. Blattes

2. Henon - Abbildung

3. OGY - revisita

(4. Delay Embedding)

1. Besprechung des 3. Übungsblatts

↳ Lösung in Abschnitten

↳ Code - Beispiel

2. Henon - Abbildung

$$\text{I: } X_{n+1} = a - X_n^2 + b Y_n$$

$$\text{II: } Y_{n+1} = X_n$$

Vgl. Wiki

$$\text{I} \quad \tilde{X}_{n+1} = 1 - \alpha \tilde{X}_n^2 + \tilde{Y}_n$$

$$\text{II} \quad \tilde{Y}_{n+1} = \beta \tilde{X}_n$$

Frage: $X_n \leftrightarrow \tilde{X}_n, Y_n \leftrightarrow \tilde{Y}_n, a \leftrightarrow \alpha, b \leftrightarrow \beta$?

aus I \leftrightarrow II folgt: $\frac{1}{a} X_{n+1} = 1 - \frac{1}{a} X_n^2 + \frac{b}{a} Y_n$

$$\Rightarrow \tilde{X}_{n+1} \Rightarrow \boxed{X_n = a \tilde{X}_n}$$

$$\Rightarrow \tilde{X}_{n+1} = 1 - \frac{1}{a} (a \tilde{X}_n)^2 + \frac{b}{a} Y_n$$

$$= 1 - a \tilde{X}_n^2 + \frac{b}{a} Y_n$$

$$(a = \alpha)$$

Weiter mit $Y_n = \frac{b}{a} Y_n \Rightarrow \boxed{Y_n = \frac{a}{b} \tilde{Y}_n}$

$$\tilde{X}_{n+1} = 1 - \alpha \tilde{X}_n^2 + \tilde{Y}_n$$

und aus II: $Y_{n+1} = X_n$

$$\Leftrightarrow \frac{a}{b} \tilde{Y}_{n+1} = a \tilde{X}_n$$

$$\Leftrightarrow \tilde{Y}_{n+1} = b \tilde{X}_n$$

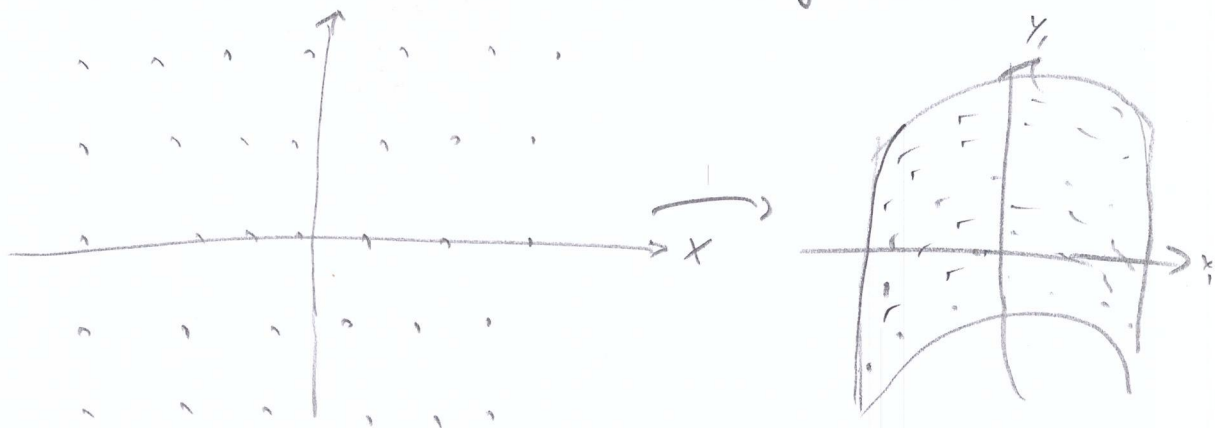
$$(b = \beta)$$

\Rightarrow Parameter gleich, Variablen reskaliert.

↳ Coding - Beispiel

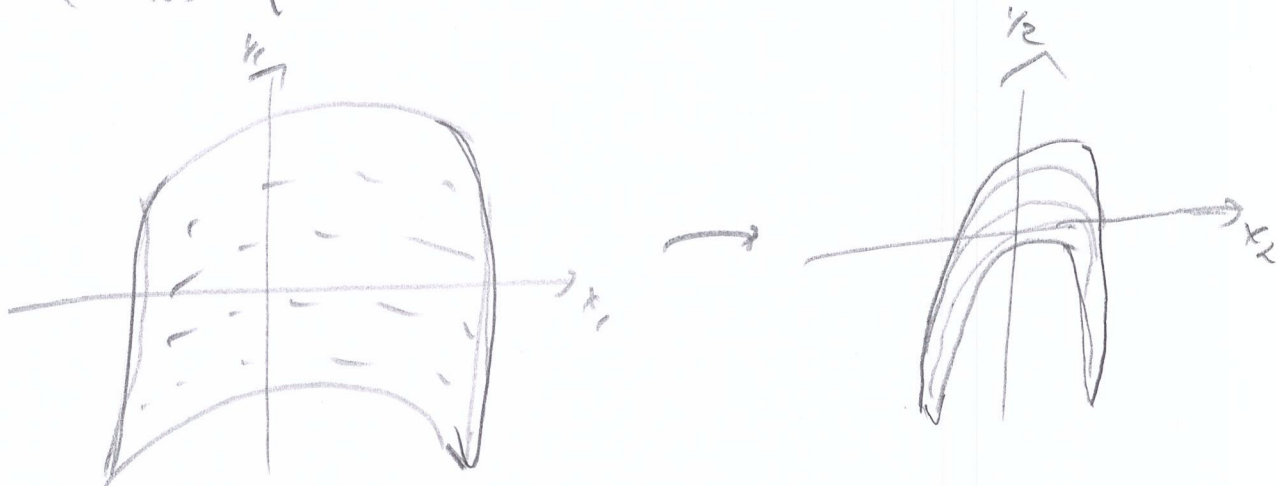
Die Komposition der Kehru-Abbildung:

1) Transformation: $(x_1, y_1) = (x, \underbrace{1 - ax^2 + y}_{\text{Deformation}})$



2) Kontraktion in x-Richtung:

$$(x_2, y_2) = (bx_1, y_1)$$



3) Reflexion / Spiegelung an der Diagonalen: $y = x$

$$(x_3, y_3) = (y_2, x_2)$$



$$(x_3, y_3) = (y_2, x_2) = (y_1, bx_1) = (1 - ax^2 + y, bx)$$

3 OGY - revisited

Edward Ott, Celso Grebogi, James Yorke, Controlling Chaos
PRL 64, 1196 (1990)

1. Motivation

- Chaotisches System soll kontrolliert werden
- Zugänglicher Systemparameter wird zeitlich um einen kleinen Wert verändert \Rightarrow Stabilisierung eines periodischen Orbits

2. Was soll stabilisiert werden?

- strange attractor / seltsamer Attraktor enthält ∞ -viele periodische Orbits
- Ziel: System nur wenig verändern für Stabilisierung

3. Annahme: zur Vereinfachung: 3D-System (gibt auch höher)

$$\frac{d}{dt} \underline{x} = \underline{F}(\underline{x}, p) \quad , \underline{x} \in \mathbb{R}^3$$

\uparrow
Systemparameter zu verändern

4. Anwendung auf Experimente:

- gibt auch, wenn Dynamik nicht vollständig bekannt
- etwa nur 1 Variable \rightarrow Delay-Embedding:

$$\underline{x}(t) = \left(z(t), \underbrace{z(t-T), z(t-2T), \dots, z(t-NT)}_{\text{spannt Phasenraum auf}} \right)$$

\uparrow
gemessen

5. Systemparameter:

- p kann in kleinen Bereich variiert werden o. B. L. T.: $p_0 = 0$
- $p_x < p_0 < p_x$

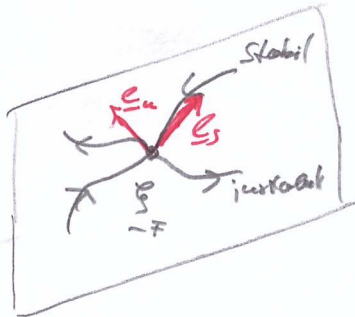
6. Poincaré - Schnitt

3D-DGL \rightarrow 2D-Abbildung (zeitliche diskret)

periodischer Orbit \leftrightarrow Fixpunkt

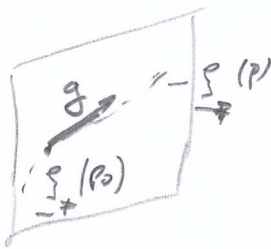
7a Benötigtes Wissen über Fixpunkt:

- ξ_{-T} sei der Ziel-Fixpunkt
- ξ_{-T} ist Sattel:



wei. bzw. reelles Eigenwerte
 $\lambda_u, \lambda_s, \lambda_u > \lambda_s$
 instabil ↑ stabil
 $|\lambda_u| > 1 > |\lambda_s|$

7b Wie verschiebt sich der FP, wenn P verändert wird?



$$\underline{g} := \left. \frac{\partial \xi_{-T}(P)}{\partial P} \right|_{P_0}$$

$$\approx \frac{1}{P} \xi_{-T}(P)$$

Richtungsableitung

8 Duale Vektoren:

- $\underline{e}_u, \underline{e}_s$ nicht unbedingt orthogonal.

• Duale Basis $\underline{f}_u, \underline{f}_s$ mit $\underline{f}_u \cdot \underline{e}_u = 1$ $\underline{f}_u \cdot \underline{e}_s = 0$
 $\underline{f}_s \cdot \underline{e}_u = 0$ $\underline{f}_s \cdot \underline{e}_s = 1$

allgemein: $\underline{v} = \alpha \underline{e}_u + \beta \underline{e}_s \Rightarrow \alpha = \underline{f}_u \cdot \underline{v}, \beta = \underline{f}_s \cdot \underline{v}$

9 wie verhält sich ξ_{-n+1} in der Nähe von ξ_{-T} für kleine P um P_0 ?

$$(1) \xi_{-n+1} \approx \underbrace{P_n \xi}_{\text{Lage d. verschobener FP}} + \underbrace{[\lambda_u \underline{e}_u \underline{f}_u + \lambda_s \underline{e}_s \underline{f}_s]}_{\underline{M}: \text{Linearität}} (\xi_n - P_n \xi)$$

10 + 11 + 12: OGT-Kontrolle:

• Idee: Wähle P_n , so dass ξ_{-n+1} auf stabiler Mannigfaltigkeit liegt. Richtig

$$\underline{f}_u \cdot \xi_{-n+1} = 0$$

$$\Rightarrow \underline{f}_u \cdot \xi_{-n+1} = P_n \underline{f}_u \cdot \xi + [\lambda_u \underbrace{\underline{f}_u \cdot \underline{e}_u}_{=1} \underline{f}_u + \lambda_s \underbrace{\underline{f}_u \cdot \underline{e}_s}_{=0} \underline{f}_s] (\xi_n - P_n \xi)$$

$$0 = P_n \underline{f}_u \cdot \xi + \lambda_u \underline{f}_u \cdot (\xi_n - P_n \xi)$$

$$P_n (\lambda_u - 1) \underline{f}_u \cdot \xi = \lambda_u \underline{f}_u \cdot \xi_n \Rightarrow (2) P_n = \frac{\lambda_u}{1 - 1} \frac{\underline{f}_u \cdot \xi_n}{\underline{f}_u \cdot \xi}$$

13 Kontrollbedingen

- Aussage zw, wenn (1) \underline{f}_u nahe genug an \underline{f}_x liegt &

$$\underline{f}_u^u = \underline{f}_u \cdot \underline{p}_u$$

$$\hookrightarrow \left| \underline{f}_u \cdot \underline{p}_u \right| < \underline{f}_x \quad (\text{links } \delta)$$

$$\text{mit } \underline{f} = P_x \left| (1 - \lambda_u^{-1}) \underline{f}_u \cdot \underline{g} \right|$$

$$\text{und } -P_x < P_u < P_x$$

$$\left| (1 - \lambda_u^{-1}) \right| = \left| \frac{\lambda_u}{\lambda_u - 1} \right|$$

(4. Delacay Embedding)

Rekonstruktion eines dynamischen Systems $\dot{x} = F(x)$, $x \in \mathbb{R}^d$

über zeitverzögerte Koordinaten (\rightarrow Attraktor sichtbar durch):

$$x = \begin{pmatrix} x_1 \\ \vdots \\ x_n \end{pmatrix} \approx \begin{pmatrix} x_u(t) \\ x_u(t-T) \\ \vdots \\ x_u(t-MT) \end{pmatrix} \quad \begin{array}{l} k \in \{1, \dots, n\} \text{ oder auch Koordinaten} \\ \text{von Nachbarer Komponenten} \end{array}$$

\rightarrow Takens Theorem: $M > 2d$ (d : fraktale Hausdorff Dimension)